

## ДВУКРАТНОЕ РЕЗЕРФОРДОВСКОЕ РАССЕЯНИЕ НА ТОНКИХ МИШЕНЯХ

В.Н. Бондаренко

При анализе состава и структуры твердого тела широко применяется метод резерфордовского обратного рассеяния (POP) [1]. Начиная с работы [2], для описания низкоэнергетической области спектра POP на тонкой мишени используется численное моделирование, основанное на концепции двукратного рассеяния. В рамках модели двукратного рассеяния нам удалось получить ряд аналитических выражений, позволяющих существенно ускорить процесс расчета спектра в данной области.

Предварительно рассмотрим схему рассеяния в сферических координатах, где ось  $Z$  направлена вдоль нормали к поверхности мишени (см. рисунок). Ион с энергией  $E_0$ , падающий на мишень в плоскости  $XOZ$  под углом  $\varphi_1$  к нормали, на глубине  $z$  тормозится до энергии  $E_1$ . На глубине  $z$  ион может испытать однократное рассеяние непосредственно в направлении детектора, расположенного также в плоскости  $XOZ$  под углом  $\varphi_2$  к нормали. Альтернативой является рассеяние иона на угол  $\theta_1$  с последующим торможением до энергии  $E_2$  на участке траектории длиной  $r$  и второе рассеяние на угол  $\theta_2$  уже в направлении детектора с последующим торможением до энергии  $E$  на выходном участке траектории. При этом

$$\cos\theta_1 = \cos\varphi \sin d \sin\varphi_1 + \cos\alpha \cos\varphi_1, \quad (1a)$$

$$\cos\theta_2 = \cos\varphi \sin d \sin\varphi_2 - \cos\alpha \cos\varphi_2, \quad (1b)$$

где  $\varphi$  – азимутальный, а  $\alpha$  – полярный углы направления первого рассеяния. Величины  $E_1 = E_1(z)$ ,  $r = r(E, z, \varphi, d)$ ,  $E_2 = E_2(E, z, \varphi, d)$  в неявном виде определяются системой уравнений:

$$\frac{z}{\cos\varphi_1} = \int_{E_1}^{E_0} \frac{dE}{S(E)} \quad (2a), \quad r = \int_{E_2}^{k(\theta_1)E_1} \frac{dE}{S(E)} \quad (2b), \quad \frac{z + r \cos\alpha}{\cos\varphi_2} = \int_E^{k(\theta_2)E_2} \frac{dE}{S(E)} \quad (2c),$$

где  $S(E)$  – тормозная способность вещества мишени, являющаяся функцией энергии  $E$ ,

$$k(\theta) = \left( \frac{\frac{M_1}{M_2} \cos\theta + \sqrt{1 - \left( \frac{M_1}{M_2} \sin\theta \right)^2}}{1 + \frac{M_1}{M_2}} \right)^2 \quad (3)$$

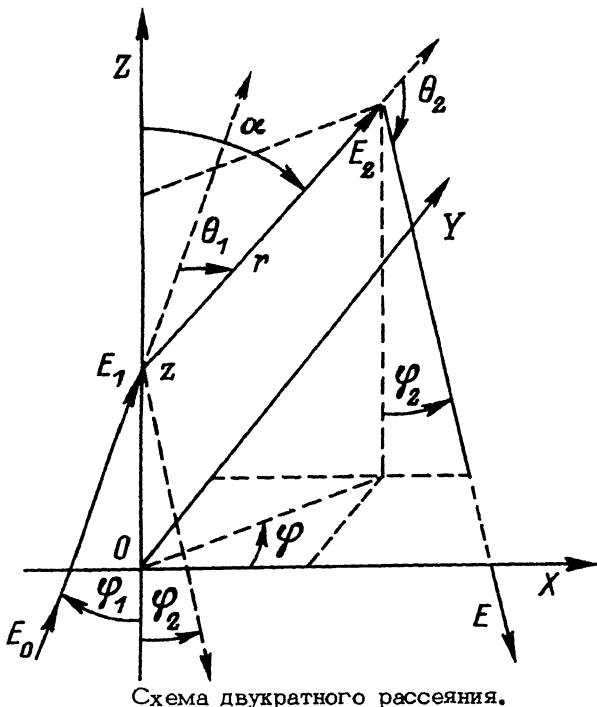


Схема двукратного рассеяния.

кинематический фактор упругого рассеяния на угол  $\theta$  для иона с массой  $M_1$ , на атоме вещества с массой  $M_2$ .

Рассматривая все возможные траектории двукратного рассеяния иона с заданной энергией  $E$  на выходе из мишени, приходим к следующему выражению для выхода  $\Delta N_2$  двукратного рассеяния в интервале энергий от  $E$  до  $E + \Delta E$  в низкоэнергетической области, запрещенной для однократного рассеяния:

$$\Delta N_2(E) = \frac{2N_0 n^2 \Delta \Omega \Delta E}{\cos \varphi_1 S(E)} \int_0^1 dz \int_0^\pi \int_{\alpha_{min}(E, z, \varphi)}^{\alpha_{max}(E, z, \varphi)} \frac{\sigma(E_1, \theta_1) \sigma(E_2, \theta_2) \sin \alpha d\alpha}{\left[ \frac{\cos \alpha}{\cos \varphi_2} + k(\theta_2) \frac{S(E_2)}{S(k(\theta_2) E_2)} \right]}, \quad (4)$$

где  $N_0$  – общее число ионов, упавших на мишень,  $n$  – плотность атомов мишени,  $z$  – толщина мишени,  $\Delta \Omega$  – телесный угол детектора,  $\sigma(E, \theta)$  – дифференциальное сечение упругого рассеяния иона с энергией  $E$  на угол  $\theta$  в лабораторной системе. Пределы интегрирования по  $\alpha$  определяются уравнениями:

$$r(\alpha_{min}) \cos \alpha_{min} + z = 1 \quad (5a), \quad r(\alpha_{max}) \cos \alpha_{max} + z = 0 \quad (5b).$$

В зависимости от условий эксперимента в качестве сечения в общем выражении (4) можно использовать либо сечение, основанное на экранированном кулоновском потенциале, либо классическое резерфордовское сечение, имеющее в лабораторной системе следующий вид:

$$\sigma(E, \theta) = \left( \frac{z_1 z_2 e^2}{2E} \right)^2 g(\theta), \quad g(\theta) = \frac{\left( 1 + \frac{M_1}{M_2} \right)^2 k(\theta)}{\sqrt{1 - \left( \frac{M_1 \sin \theta}{M_2} \right)^2} \left( 1 - \cos \theta \sqrt{k(\theta)} \right)^2}, \quad (6)$$

где  $z_1$  – атомный номер иона,  $z_2$  – атомный номер атома мишени,  $e$  – заряд электрона, а фактор  $g(\theta)$  описывает угловую часть сечения. В этом случае

$$dN_2(E) = \frac{N_0 n^2 (z_1 z_2 e^2)^4 d\Omega dE}{8 \cos \varphi_1 S(E)} T(E, l), \quad (7)$$

где

$$T(E, l) = \int_0^l \int_{E_1^2}^{dE} \int_0^{\pi} \int_{\alpha_{min}(E, z, \varphi)}^{\alpha_{max}(E, z, \varphi)} \frac{g(\theta_1) g(\theta_2) \sin \alpha d\alpha}{E_2^2 \left[ \frac{\cos \alpha}{\cos \varphi_2} + k(\theta) \right] \frac{S(E_2)}{S(k(\theta_2) E_2)}}. \quad (8)$$

Наиболее наглядный вид выражение (8) принимает при  $\varphi_1 = \varphi_2 = 0$ ;  $S = const$ ;  $\frac{M_1}{M_2} \rightarrow 0$ . В этом случае

$$T(E, l) = \frac{\pi}{SE_o^3} \tau \left( \frac{E}{E_o}, \frac{Sl}{E_o} \right), \quad (9)$$

где

$$\begin{aligned} \tau(\varepsilon, \lambda) &= \frac{\ln \left( \frac{1-\varepsilon}{\varepsilon_{max} - \varepsilon} \right)}{(1+\varepsilon)^2} \left\{ \frac{\lambda}{4\varepsilon(\varepsilon+\lambda)} + \frac{\lambda}{4(1-\lambda)} + \frac{\ln \left[ \frac{\varepsilon+\lambda}{\varepsilon(1-\lambda)} \right]}{(1+\varepsilon)} \right\} + \\ &+ \frac{\lambda}{(1-\varepsilon^2)(\varepsilon_{max} - \varepsilon)} \left\{ \frac{\lambda}{2\varepsilon(\varepsilon+\lambda)} - \frac{\lambda}{2(1-\lambda)} + \frac{\ln \left[ \frac{\varepsilon}{(\varepsilon+\lambda)(1-\lambda)} \right]}{(1+\varepsilon)} \right\}, \end{aligned} \quad (10)$$

причем  $0 < \lambda < \frac{1}{2}$ ,  $0 < \varepsilon < \varepsilon_{max} \equiv 1 - 2\lambda$ . Функция  $\tau$  имеет  $U$ -образную форму зависимости от  $\varepsilon$  и расходится при  $\varepsilon \rightarrow 0$  и  $\varepsilon \rightarrow \varepsilon_{max}$ , что является следствием расходимости резерфордовского сечения (6) соответственно при  $E \rightarrow 0$  и  $\theta \rightarrow 0$ . Учет экранировки снимает эти расходимости. При малых (случай небольших толщин мишней)  $\tau \approx \lambda^2 / (\varepsilon^2 (\varepsilon_{max} - \varepsilon))$  с минимумом при  $\varepsilon = 2\varepsilon_{max}/3$ , что прямо под-

тврждает эмпирическую закономерность, выявленную в работе [2]. Выражения (7, 9, 10) можно использовать для быстрого расчета, если  $\varphi_1$  и  $\varphi_2$  невелики, а тормозная способность слабо изменяется в используемом интервале энергий. В прочих случаях лучше использовать исходные выражения (4, 7, 8).

Анализ полученных выражений показывает, что выход двукратного рассеяния значительно чувствительнее к  $Z_1$ ,  $Z_2$ ,  $E_0$ , чем выход однократного рассеяния. Это подтверждают и предварительные эксперименты.

Автор признателен В.Я. Колоту и Н.П. Дикому за полезные обсуждения.

#### Список литературы

- [1] Chu W.K., Mayer I.W., Nicollet M-A.  
et al. // Thin. Solid. Films. 1973. V. 17. P. 1-41.  
[2] Weber A., Moemsen H., Sarter W.  
and Weller A. // Nucl. Instr. and Methods.  
1982. V. 198. P. 527-533.

Харьковский  
физико-технический  
институт АН УССР

Поступило в Редакцию  
2 декабря 1988 г.

Письма в ЖТФ, том 15, вып. 4  
02; 04; 07

26 февраля 1989 г.

#### РОЛЬ БУФЕРНОГО ГАЗА ПРИ ФОРМИРОВАНИИ АКТИВНЫХ СРЕД SPER-ЛАЗЕРА

В.В. Аполлонов, А.В. Ермаченко,  
А.А. Сироткин

В [1-4] предложен новый тип лазера с сегментированным возбуждением паров металлов импульсным электрическим разрядом и последующей рекомбинацией (S PER-лазер). Авторы [1-4] полагают, что инверсия на переходах атомов и ионов в данном типе лазера формируется в результате рекомбинации ионов более высокой кратности при разлете плазмы паров металла в буферный газ. При этом роль буферного газа сводится только к столкновительному охлаждению электронов для обеспечения интенсивной рекомбинации. В этом случае увеличение давления Р буферного газа должно приводить к возрастанию интенсивности излучения S PER-лазера, однако генерация на переходах атомов и ионов [4-5] наблюдается в очень узком диапазоне давлений буферного газа. С другой стороны, в [6] показано, что разлёт плазмы осуществляется не в холодный,